

Projeto e Análise de Algoritmos

Caminhos Mínimos Utilizando Algoritmos de Dijkstra, Bellman-Ford, Floyd-Warshall, com detecção de Ciclos de Custo Negativo

Conrado C. Bicalho, Danilo S. Souza, Rodolfo L. M. Guimarães, Thiago Schons

12 de maio de 2016

{conradobh, danilo.gdc, rodolfolabiapari, thiagoschons2}@gmail.com

Departamento de Computação – Universidade Federal de Ouro Preto

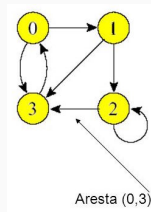
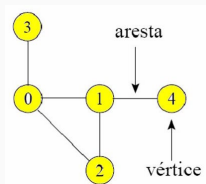
35.400-000 – Ouro Preto - MG – Brasil

Introdução

Teoria dos Grafos

- Estrutura $G = (V, E)$ onde [2]:
 - V é um conjunto discreto e não vazio de vértices;
 - E é uma família de elementos não vazios definidos em função dos elementos em V .

Cada aresta tem um ou dois nós associados a ela e faz o papel de interligar suas extremidades.
- Grafo orientado $G = (V, E)$, cada aresta orientada está associada a um par ordenado de nós (u, v) .



- Tais arcos também podem ser ponderados sendo sua função peso $w(u, v) : E \rightarrow \mathbb{R}$ [2].

Definição do Problema

Definição do Problema de Caminhos Mínimos de Única Origem [1]

- Grafo $G = (V, E)$ sem laços e valorado por uma função peso $w : E \rightarrow \mathbb{R}$, sendo o peso $p = \langle v_1, v_2, \dots, v_k \rangle$ é o somatório dos pesos de suas arestas

$$w(p) = \sum_{i=1}^k w(v_{i-1}, v_i)$$

- Assim, o peso do caminho mais curto de u até v é

$$\delta(u, v) = \begin{cases} \min\{w(p) : u \xrightarrow{p} v\} & \text{se existe um caminho de } u \text{ até } v, \\ \infty & \text{em caso contrário.} \end{cases}$$

- Propriedade de que:
 - Um caminho mais curto entre dois vértices pode conter outros caminhos mais curtos em seu interior.

Caminhos mais Curtos de Todos para Todos

- Deseja-se encontrar o caminho mais curto entre todos os pares de vértices $u, v \in V$.
- Este problema também pode ser resolvido utilizando um algoritmo de caminho mínimo um para todos $|V|$ vezes, uma para cada vértice de origem:
 - Mas existem algoritmos específicos para a resolução deste.
- Sua estrutura de dados é lidada como uma matriz de adjacência:
 - É exibido os valores de todos para todos de acordo com sua linha e colina.

Caminhos mais Curtos de Todos para Todos

- Supondo que existem $|V|$ vértices e enumerados de forma crescente e contínua, uma matriz de entrada seria W $n \times n$ representando os pesos das arestas do grafo orientado de n vértices. Isto é, $W = (w_{ij})$ onde

$$w_{ij} = \begin{cases} 0 & \text{se } i = j, \\ \text{o peso da aresta orientada } (i, j) & \text{se } i \neq j \text{ e } (i, j) \in E, \\ \infty & \text{se } i \neq j \text{ e } (i, j) \notin E. \end{cases}$$

Prova

Subestrutura Ótima de um Caminho Mais Curto [1]

- **Lema:**

- Dado um grafo orientado ponderado $G = (V, E)$ com função peso $w : E \rightarrow \mathbb{R}$, seja $p = \langle v_1, v_2, \dots, v_k \rangle$ um caminho mais curto.
- Para quaisquer i e j tais que $1 \leq i \leq j \leq k$, seja $p_{ij} = \langle v_i, v_{i+1}, \dots, v_j \rangle$ o subcaminho.
- Então, p_{ij} é um caminho mais curto de v_i e v_j .

Subestrutura Ótima de um Caminho Mais Curto [1]

- **Lema:**

- Dado um grafo orientado ponderado $G = (V, E)$ com função peso $w : E \rightarrow \mathbb{R}$, seja $p = \langle v_1, v_2, \dots, v_k \rangle$ um caminho mais curto.
- Para quaisquer i e j tais que $1 \leq i \leq j \leq k$, seja $p_{ij} = \langle v_i, v_{i+1}, \dots, v_j \rangle$ o subcaminho.
- Então, p_{ij} é um caminho mais curto de v_i e v_j .

- **Prova:**

- Quando decompõe o caminho p em $v_1 \xrightarrow{p_{1i}} v_i \xrightarrow{p_{ij}} v_j \xrightarrow{p_{jk}} v_k$, teremos $w(p) = w(p_{1i}) + w(p_{ij}) + w(p_{jk})$.
- Supondo que existisse um caminho p'_{ij} de v_i até v_j com peso $w(p'_{ij}) < w(p_{ij})$.
- Então, $v_1 \xrightarrow{p_{1i}} v_i \xrightarrow{p'_{ij}} v_j \xrightarrow{p_{jk}} v_k$ é um caminho de v_1 até v_k cujo peso $w(p) = w(p_{1i}) + w(p'_{ij}) + w(p_{jk})$ é menor que $w(p)$, o que contradiz a hipótese de que p é um caminho mais curto de v_1 até v_k .

Itens Importantes

Arestas de Peso Negativo

- Em algumas instâncias do problema, pode haver arestas cujo pesos são negativos.

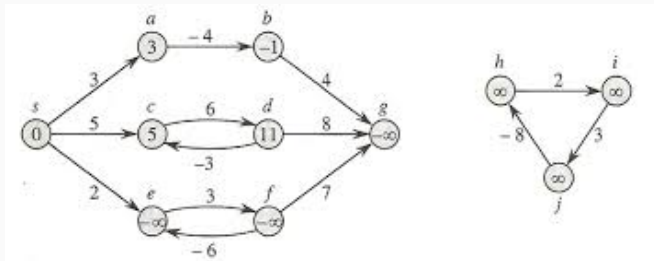
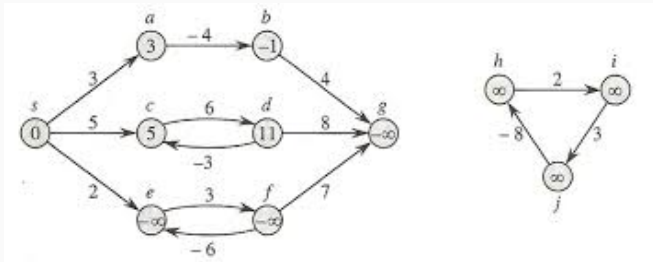


Figura 1: Exemplo simples de um grafo com arestas de peso negativo.

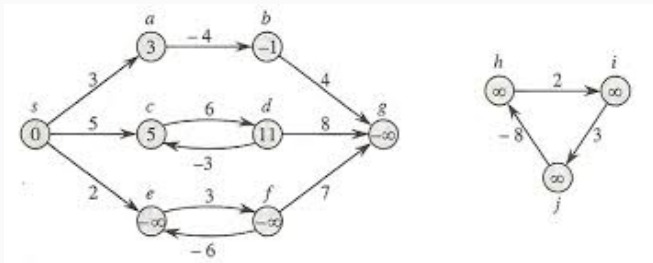
Fonte: [1].

Arestas de Peso Negativo



- Um grafo $G = (V, E)$ que não contenha nenhum ciclo de peso negativo acessível a partir da origem s :
 - $\forall v \in V$, o peso do caminho mais curto $\delta(s, v)$ permanece bem definido, mesmo tendo um valor negativo.

Arestas de Peso Negativo



- Um grafo $G = (V, E)$ que não contenha nenhum ciclo de peso negativo acessível a partir da origem s :
 - $\forall v \in V$, o peso do caminho mais curto $\delta(s, v)$ permanece bem definido, mesmo tendo um valor negativo.
 - Caso exista um ciclo de peso negativo acessível, os pesos dos caminhos não serão bem definidos.
 - Existindo o ciclo negativo no caminho de s até v , então $\delta(s, v) = -\infty$ [1].

- O algoritmo de Dijkstra possui restrições de execução.
- Já algoritmos como o Bellman-Ford e Floyd-Warshall são mais flexíveis.

Algoritmos

Ambiente de Hardware e Software Utilizado

Tabela 1: Tabela com as informações de ambiente de execução do trabalho realizado.

Item	Descrição
Processador	1 Processador Intel Core i7 - 2,9 GHz
Núcleos	4 Núcleos
Cache L2 (por Núcleo)	256 KB
Cache L3	4 MB
Memória RAM	10 GB DDR3
Arquitetura	Arquitetura de von Neumann
Sistema Operacional	OS X 10.11.4 (15E65)
Versão do Kernel	Darwin 15.4.0
Compilador	Apple LLVM version 7.3.0 (clang-703.0.31)

Algoritmo Bellman-Ford

Algorithm 1 Bellman-Ford

```
1: procedure BELLMAN-FORD( $G, w, s$ )
2:   INICIALIZA-UNICA-FONTE( $G, s$ );
3:   for  $i \leftarrow 1, |V[G]| - 1$  do
4:     for cada aresta  $(u, v) \in E[G]$  do
5:       RELAXA( $u, v, w$ );
6:     end for
7:   end for
8:   for cada aresta  $(u, v) \in E[G]$  do
9:     if  $d[v] > d[u] + w(u, v)$  then
10:      return FALSE;
11:    end if
12:  end for
13:  return TRUE;
14: end procedure
```

Algorithm 2 Bellman-Ford

```
1: procedure BELLMAN-FORD( $G, w, s$ )
2:   INICIALIZA-UNICA-FONTE( $G, s$ );
3:   for  $i \leftarrow 1, |V[G]| - 1$  do                                      $\triangleright \mathcal{O}(V)$ 
4:     for cada aresta  $(u, v) \in E[G]$  do
5:       RELAXA( $u, v, w$ );
6:     end for
7:   end for
8:   for cada aresta  $(u, v) \in E[G]$  do
9:     if  $d[v] > d[u] + w(u, v)$  then
10:      return FALSE;
11:    end if
12:  end for
13:  return TRUE;
14: end procedure
```

Algorithm 3 Bellman-Ford

```
1: procedure BELLMAN-FORD( $G, w, s$ )
2:   INICIALIZA-UNICA-FONTE( $G, s$ );
3:   for  $i \leftarrow 1, |V[G]| - 1$  do                                 $\triangleright \mathcal{O}(V)$ 
4:     for cada aresta  $(u, v) \in E[G]$  do                             $\triangleright \mathcal{O}(E)$ 
5:       RELAXA( $u, v, w$ );
6:     end for
7:   end for
8:   for cada aresta  $(u, v) \in E[G]$  do
9:     if  $d[v] > d[u] + w(u, v)$  then
10:      return FALSE;
11:    end if
12:  end for
13:  return TRUE;
14: end procedure
```

Algorithm 4 Bellman-Ford

```
1: procedure BELLMAN-FORD( $G, w, s$ )
2:   INICIALIZA-UNICA-FONTE( $G, s$ );
3:   for  $i \leftarrow 1, |V[G]| - 1$  do                                 $\triangleright \mathcal{O}(V)$ 
4:     for cada aresta  $(u, v) \in E[G]$  do                             $\triangleright \mathcal{O}(E)$ 
5:       RELAXA( $u, v, w$ );                                            $\triangleright \mathcal{O}(1)$ 
6:     end for
7:   end for
8:   for cada aresta  $(u, v) \in E[G]$  do
9:     if  $d[v] > d[u] + w(u, v)$  then
10:      return FALSE;
11:    end if
12:  end for
13:  return TRUE;
14: end procedure
```

Algorithm 5 Bellman-Ford

```
1: procedure BELLMAN-FORD( $G, w, s$ )
2:   INICIALIZA-UNICA-FONTE( $G, s$ );
3:   for  $i \leftarrow 1, |V[G]| - 1$  do                                 $\triangleright \mathcal{O}(V)$ 
4:     for cada aresta  $(u, v) \in E[G]$  do                           $\triangleright \mathcal{O}(E)$ 
5:       RELAXA( $u, v, w$ );                                           $\triangleright \mathcal{O}(1)$ 
6:     end for
7:   end for
8:   for cada aresta  $(u, v) \in E[G]$  do                                 $\triangleright \mathcal{O}(E)$ 
9:     if  $d[v] > d[u] + w(u, v)$  then
10:      return FALSE;
11:    end if
12:  end for
13:  return TRUE;
14: end procedure
```

Algorithm 6 Bellman-Ford

```
1: procedure BELLMAN-FORD( $G, w, s$ )
2:   INICIALIZA-UNICA-FONTE( $G, s$ );
3:   for  $i \leftarrow 1, |V[G]| - 1$  do                                 $\triangleright \mathcal{O}(V)$ 
4:     for cada aresta  $(u, v) \in E[G]$  do                             $\triangleright \mathcal{O}(E)$ 
5:       RELAXA( $u, v, w$ );                                            $\triangleright \mathcal{O}(1)$ 
6:     end for
7:   end for
8:   for cada aresta  $(u, v) \in E[G]$  do                                 $\triangleright \mathcal{O}(E)$ 
9:     if  $d[v] > d[u] + w(u, v)$  then                                    $\triangleright \mathcal{O}(1)$ 
10:      return FALSE;
11:    end if
12:  end for
13:  return TRUE;
14: end procedure
```

Algoritmo de Dijkstra

Algorithm 7 Dijkstra

```
1: procedure DIJKSTRA( $G, w, s$ )
2:   INICIALIZA-UNICA-FONTE( $G, s$ );
3:    $S \leftarrow \emptyset$ ;
4:    $Q \leftarrow V[G]$ ;
5:   while  $Q \neq \emptyset$  do
6:      $u \leftarrow \text{RETIRA-MINIMO}(Q)$ ;
7:      $S \leftarrow S \cup \{u\}$ ;
8:     for cada vértice  $v \in \text{Adj}[u]$  do
9:       RELAXA( $u, v, w$ );
10:    end for
11:  end while
12: end procedure
```

Algorithm 8 Dijkstra

```
1: procedure DIJKSTRA( $G, w, s$ )
2:   INICIALIZA-UNICA-FONTE( $G, s$ );                                 $\triangleright \mathcal{O}(E)$ 
3:    $S \leftarrow \emptyset$ ;
4:    $Q \leftarrow V[G]$ ;
5:   while  $Q \neq \emptyset$  do
6:      $u \leftarrow \text{RETIRA-MINIMO}(Q)$ ;
7:      $S \leftarrow S \cup \{u\}$ ;
8:     for cada vértice  $v \in \text{Adj}[u]$  do
9:       RELAXA( $u, v, w$ );
10:    end for
11:  end while
12: end procedure
```

Algorithm 9 Dijkstra

```
1: procedure DIJKSTRA( $G, w, s$ )
2:   INICIALIZA-UNICA-FONTE( $G, s$ );                                 $\triangleright \mathcal{O}(E)$ 
3:    $S \leftarrow \emptyset$ ;
4:    $Q \leftarrow V[G]$ ;
5:   while  $Q \neq \emptyset$  do                                        $\triangleright \mathcal{O}(\log V)$ 
6:      $u \leftarrow \text{RETIRA-MINIMO}(Q)$ ;
7:      $S \leftarrow S \cup \{u\}$ ;
8:     for cada vértice  $v \in \text{Adj}[u]$  do
9:       RELAXA( $u, v, w$ );
10:    end for
11:  end while
12: end procedure
```

Algorithm 10 Dijkstra

```
1: procedure DIJKSTRA( $G, w, s$ )
2:   INICIALIZA-UNICA-FONTE( $G, s$ );                                 $\triangleright \mathcal{O}(E)$ 
3:    $S \leftarrow \emptyset$ ;
4:    $Q \leftarrow V[G]$ ;
5:   while  $Q \neq \emptyset$  do                                        $\triangleright \mathcal{O}(\log V)$ 
6:      $u \leftarrow \text{RETIRA-MINIMO}(Q)$ ;                              $\triangleright \mathcal{O}(V)$ 
7:      $S \leftarrow S \cup \{u\}$ ;
8:     for cada vértice  $v \in \text{Adj}[u]$  do
9:       RELAXA( $u, v, w$ );
10:    end for
11:  end while
12: end procedure
```

Algorithm 11 Dijkstra

```
1: procedure DIJKSTRA( $G, w, s$ )
2:   INICIALIZA-UNICA-FONTE( $G, s$ );                                 $\triangleright \mathcal{O}(E)$ 
3:    $S \leftarrow \emptyset$ ;
4:    $Q \leftarrow V[G]$ ;
5:   while  $Q \neq \emptyset$  do                                      $\triangleright \mathcal{O}(\log V)$ 
6:      $u \leftarrow \text{RETIRA-MINIMO}(Q)$ ;                            $\triangleright \mathcal{O}(V)$ 
7:      $S \leftarrow S \cup \{u\}$ ;
8:     for cada vértice  $v \in \text{Adj}[u]$  do                          $\triangleright \mathcal{O}(V)$ 
9:       RELAXA( $u, v, w$ );
10:    end for
11:  end while
12: end procedure
```

Algoritmo Floyd Warshall

Algoritmo Floyd Warshall

Algorithm 12 Floyd-Warshall

```
1: procedure FLOYD-WARSHALL( $W$ )
2:    $n \leftarrow \text{linhas}[W]$ ;
3:    $D \leftarrow W$ ;
4:   for  $k \leftarrow 1, n$  do
5:     for  $i \leftarrow 1, n$  do
6:       for  $j \leftarrow 1, n$  do
7:          $d_{ij}^k \leftarrow \min(d_{ij}^{k-1}, d_{ik}^{k-1} + d_{kj}^{k-1})$ ;
8:       end for
9:     end for
10:  end for
11:  return  $D$ ;
12: end procedure
```

Algoritmo Floyd Warshall

Algorithm 13 Floyd-Warshall

```
1: procedure FLOYD-WARSHALL( $W$ )
2:    $n \leftarrow \text{linhas}[W]$ ;
3:    $D \leftarrow W$ ;
4:   for  $k \leftarrow 1, n$  do                                      $\triangleright \mathcal{O}(V)$ 
5:     for  $i \leftarrow 1, n$  do
6:       for  $j \leftarrow 1, n$  do
7:          $d_{ij}^k \leftarrow \min(d_{ij}^{k-1}, d_{ik}^{k-1} + d_{kj}^{k-1})$ ;
8:       end for
9:     end for
10:  end for
11:  return  $D$ ;
12: end procedure
```

Algoritmo Floyd Warshall

Algorithm 14 Floyd-Warshall

```
1: procedure FLOYD-WARSHALL( $W$ )
2:    $n \leftarrow \text{linhas}[W]$ ;
3:    $D \leftarrow W$ ;
4:   for  $k \leftarrow 1, n$  do  $\triangleright \mathcal{O}(V)$ 
5:     for  $i \leftarrow 1, n$  do  $\triangleright \mathcal{O}(V)$ 
6:       for  $j \leftarrow 1, n$  do
7:          $d_{ij}^k \leftarrow \min(d_{ij}^{k-1}, d_{ik}^{k-1} + d_{kj}^{k-1})$ ;
8:       end for
9:     end for
10:  end for
11:  return  $D$ ;
12: end procedure
```

Algoritmo Floyd Warshall

Algorithm 15 Floyd-Warshall

```
1: procedure FLOYD-WARSHALL( $W$ )
2:    $n \leftarrow \text{linhas}[W]$ ;
3:    $D \leftarrow W$ ;
4:   for  $k \leftarrow 1, n$  do                                      $\triangleright \mathcal{O}(V)$ 
5:     for  $i \leftarrow 1, n$  do                                    $\triangleright \mathcal{O}(V)$ 
6:       for  $j \leftarrow 1, n$  do                                  $\triangleright \mathcal{O}(V)$ 
7:          $d_{ij}^k \leftarrow \min(d_{ij}^{k-1}, d_{ik}^{k-1} + d_{kj}^{k-1})$ ;
8:       end for
9:     end for
10:  end for
11:  return  $D$ ;
12: end procedure
```

Algoritmo Floyd Warshall

Algorithm 16 Floyd-Warshall

```
1: procedure FLOYD-WARSHALL( $W$ )
2:    $n \leftarrow \text{linhas}[W]$ ;
3:    $D \leftarrow W$ ;
4:   for  $k \leftarrow 1, n$  do                                      $\triangleright \mathcal{O}(V)$ 
5:     for  $i \leftarrow 1, n$  do                                    $\triangleright \mathcal{O}(V)$ 
6:       for  $j \leftarrow 1, n$  do                                  $\triangleright \mathcal{O}(V)$ 
7:          $d_{ij}^k \leftarrow \min(d_{ij}^{k-1}, d_{ik}^{k-1} + d_{kj}^{k-1});$    $\triangleright \mathcal{O}(1)$ 
8:       end for
9:     end for
10:  end for
11:  return  $D$ ;
12: end procedure
```

Experimentos

- Utilizou-se de 4 instâncias:
 - *rome99.gr*, *rg300_4730.gr*, *rg300_768_floyd.gr*,
rg300_768_floyd-n.gr.
- Para cada instância foi executado 20 vezes no mesmo ambiente de testes e colhido o tempo de execução.
- Todos os resultados estão disponíveis no relatório deste.

Valores de Tempos de Execução

Tabela 2: Tabela com os valores de tempo médio de cada algoritmo nas quatro instâncias com o objetivo de obter caminhos mínimos de todos para todos.

Instância	Bellman-Ford (s)	Dijkstra (s)	Ford-Warshall (s)
<i>rome99.gr</i>	420.0757	93.59347	149.3292
<i>rg300_4730.gr</i>	1.788467	0.11464	0.118966
<i>rg300_768_floyd.gr</i>	0.294253	0.094997	0.116002
<i>rg300_768_floyd-n.gr</i>	0.289948	Não se aplica.	0.098479

- A Figura 2 exibe um gráfico comparando os resultados de cada algoritmo sobre a instância *rome99.gr*.

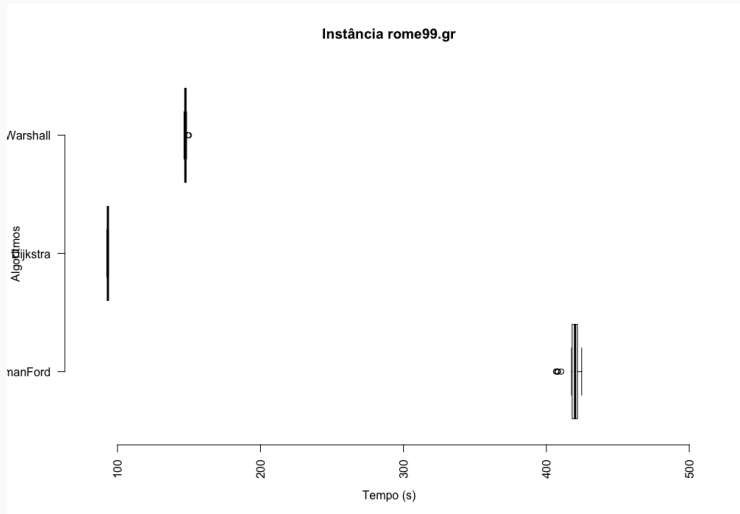


Figura 2: Tempo de execução de cada algoritmo sobre a instância *rome99.gr*. Fonte: Autor.

- A Figura 3 exibe um gráfico comparando os resultados de cada algoritmo sobre a instância *rg300_4730.gr*.

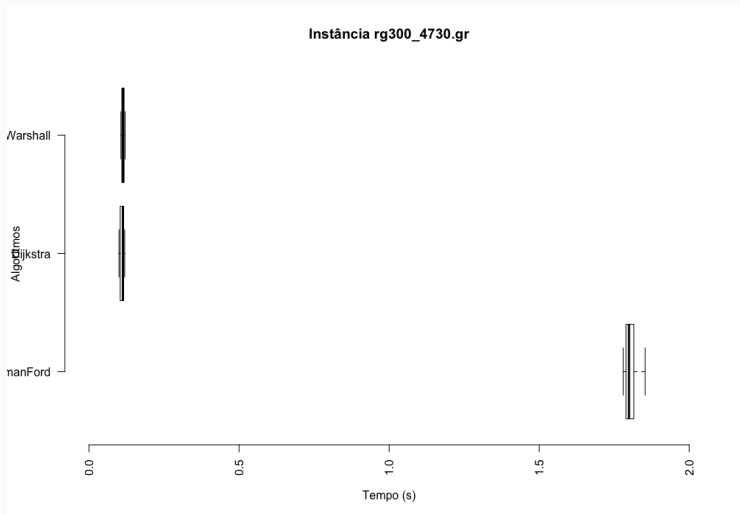


Figura 3: Tempo de execução de cada algoritmo sobre a instância *rg300_4730.gr*. Fonte: Autor.

- A Figura 4 exibe um gráfico comparando os resultados de cada algoritmo sobre a instância *rg300_768_floyd.gr*.

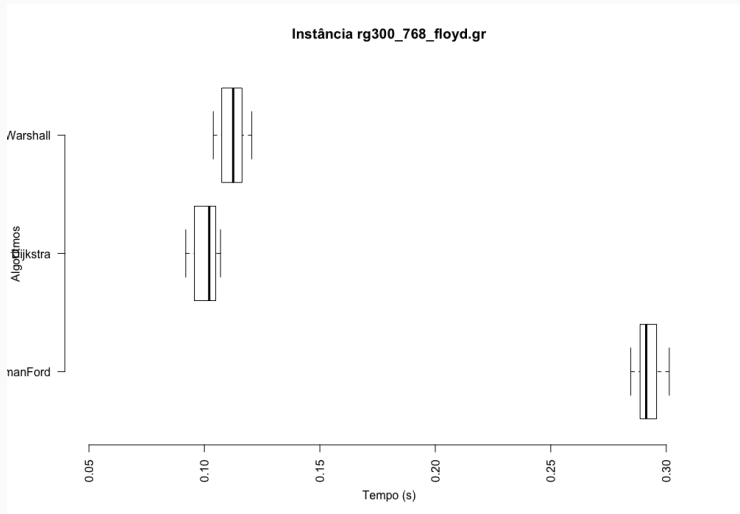


Figura 4: Tempo de execução de cada algoritmo sobre a instância *rg300_768_floyd.gr*. Fonte: Autor.

- A Figura 5 exibe um gráfico comparando os resultados de cada algoritmo sobre a instância *rg300_768_floyd-n.gr*.

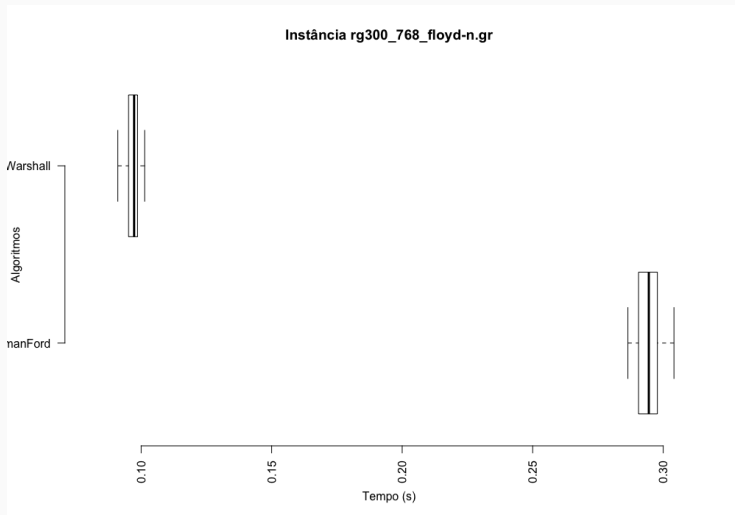


Figura 5: Tempo de execução de cada algoritmo sobre a instância com arestas negativas *rg300_768_floyd-n.gr*. Fonte: Autor.

Conclusão

Conclusão

- O problema de caminhos mínimos também está relacionado a programação linear.
 - É possível reduzir um caso especial de programação linear ao fato de encontrar caminhos mais curtos a partir de uma única origem.
 - Tal problema pode ser resolvido com algoritmo de Bellman-Ford, sendo assim resolvendo também o problema de programação linear [1].
- Realizou-se 20 iterações de teste por ser uma média razoável para análise e também devido ao tempo computacional elevado pelo tamanho das instâncias utilizadas assim como a complexidade dos algoritmos.

- Em termos de implementação:
 - Todos os códigos possuem grande facilidade de implementação;
 - Principalmente o Algoritmo Floyd Warshall que se baseia numa simples estratégia mas com análise assintótica elevada.
- Sobre a análise assintótica:
 - Houve uma grande disputa entre o Bellman Ford e Dijkstra.
 - O Algoritmo de Floyd Warshall ficou fora dessa disputa por ser de complexidade de tempo $\mathcal{O}(n^3)$
 - E o Bellman tem complexidade $\mathcal{O}(n^2)$ e o Dijkstra $\mathcal{O}(E + V \log V)$ no pior caso.
 - O algoritmo Dijkstra teve sucesso em todas as execuções devida sua complexidade assintótica de tempo ser menor que todos os outros. A estrutura utilizada nele foi projetada pelos integrantes dos grupos.

Bibliografia



T. H. Cormen.

Algoritmos: teoria e prática.

Elsevier, 2002.



P. O. B. Netto.

Grafos: teoria, modelos, algoritmos.

Edgard Blücher, 2003.

Projeto e Análise de Algoritmos

Caminhos Mínimos Utilizando Algoritmos de Dijkstra, Bellman-Ford, Floyd-Warshall, com detecção de Ciclos de Custo Negativo

Conrado C. Bicalho, Danilo S. Souza, Rodolfo L. M. Guimarães, Thiago Schons

12 de maio de 2016

{conradobh, danilo.gdc, rodolfohabiapari, thiagoschons2}@gmail.com

Departamento de Computação – Universidade Federal de Ouro Preto

35.400-000 – Ouro Preto - MG – Brasil

Considerações de Projeto e Análise

- Alguns algoritmos implementados tratam o 'infinito' como: o maior peso encontradas das arestas multiplicado por ele mesmo.
- Nenhum algoritmo faz teste de verificação de entradas inválidas.
- Foi executado em todos os algoritmos analisadores de código estáticos e dinâmicos. Executou-se primeiramente o Clang Static Analyzer e em seguida o Valgrind. Com exceção do Algoritmo de Bellman Ford, todos retornaram sucesso nas análises.

Relaxamento [1]

- Técnica onde para cada vértice $v \in V$, mantém-se um atributo $d[v]$, que é o limite superior sobre o peso do caminho mais curto entre s e v .
- Funciona da seguinte maneira:
 - Inicialização. Faz a estima de distância $d(v) = \infty$.
 - Relaxamento. Relaxar uma aresta (u, v) consiste em testar alguma forma de melhorar o caminho mais curto para v encontrado até agora por outros caminhos intermediários que utilizem u .



Figura 6: Exemplo de um relaxamento de uma aresta. Fonte:

<http://wiki.icmc.usp.br/images/b/b4/7>.

_1GrafosCaminhosLA(Graca).pdf

Variações deste Problema

- Variações descritas até agora:
 - Caminho mais curto de uma única origem; e

Variações deste Problema

- Variações descritas até agora:
 - Caminho mais curto de uma única origem; e
 - De todos para todos.

Variações deste Problema

- Variações descritas até agora:
 - Caminho mais curto de uma única origem; e
 - De todos para todos.
- Mas além destes, é possível obter outras variantes deste problema sem perder sua essência. Seriam as outras variantes:
 - Caminho mais curto de destino único; e
 - Par único.

- Problemas de única origem:
 - Problemas relacionados com sequências de decisões;
 - Escolhas de itinerários ao longo de uma viagem;
 - Traçado de uma estratégia em um problema de investimentos;
 - Trata-se de decisões envolvendo alguma forma de custo a ser minimizado.
- Problema de todos para todos:
 - Elaboração de uma tabela de distância entre todos os pares de cidades de um certa região para um atlas rodoviário.